

集成模块化 Cantor 网络的控制和光学实现

王 宁 殷耀祖 钱家钧 梁 丰 刘立人
(中国科学院上海光学精密机械研究所, 上海 201800)

摘要 提出光学集成模块化 Cantor 网络, 并建立了 Cantor 网络的快速控制体系。该网络是基于极化多通道技术。利用晶体的双折射效应和电光特性实现网络的互连变换。该网络易安装, 抗干扰。

关键词 集成模块化 Cantor 网络, 快速控制。

1 引 言

在通信和多处理器计算机体系中。平行互连网络起着非常重要的作用。目前发展的非阻塞互连网络包括 Crossbar, Clos 和 Cantor 网络^[1]。对于大型互连网络, Cantor 网络占据的结点数最少。Cantor 网络是多级互连网络, 为了实现任意的互连模式, 需要建立网络控制体系。本文提出了 Cantor 网络的快速控制算法。该算法通过信号的输入和输出地址的二进制逻辑操作, 用运算结果的各位数决定网络中各开关的状态。近年来由于光学的并行性和干扰能力, 光学互连网络逐渐受到重视。在构造光学互连网络的许多方法中^[2, 3], 有依靠极化多通道技术发展起来的光学互连网络^[4], 但是该网络用液晶光调制器做为开关, 网络的运行速度受到限制。作者建立了光学集成模块化 Cantor 网络。该结构利用了晶体的双折射和电光特性实现网络互连功能。

2 Cantor 网络及快速控制算法

图 1 是 $N = 8$ 的 Cantor 网络的一维结构, 它是以中间级为对称, 共有 $2\log_2 N - 1$ 级, 每一级包含 $(N/2) \log_2 N$ 个 2×2 开关。Cantor 网络的控制算法可以分两步: 1) 为输入信号设定输入通道。第一个输入信号可以选择 $\log_2 N$ 个输入通道, 输入通道的选择相对于输入信号 N 可以固定不变。在图 1 中给出了一种输入通道的选择。输入通道的选择不是唯一的, 这一点保证了 Cantor 网络的容错性。2) 将信号的输入通道和输出通道二进制地址的“异或”操作结果的比特数依次赋予信号通过的 2×2 开关。设 j, i 表示输入通道地址, 其二进制展开式 $F_{j, i}$ 表示为:

$$F_{j, i} = f_{n-2}^{(j)} f_{n-3}^{(j)} \cdots f_0^{(j)} f_{n-1}^{(i)} f_{n-2}^{(i)} \cdots f_0^{(i)},$$

* 感谢国家基金委和高技术局的资助。

收稿日期: 1995 年 3 月 28 日; 收到修改稿日期: 1995 年 6 月 23 日

输出通道地址的二进制展开式 $D_{j,i}$ 表示为:

$$D_{j,i} = d_{n-2}^{(j)} d_{n-3}^{(j)} \cdots d_0^{(j)} d_{n-1}^{(i)} d_{n-2}^{(i)} \cdots d_0^{(i)},$$

则 $F_{j,i} \odot D_{j,i}$ 的异或“ \odot ”操作为:

$$\begin{aligned} F_{j,i} \odot D_{j,i} &= [f_{n-2}^{(j)} \odot d_{n-2}^{(j)}] [f_{n-3}^{(j)} \odot d_{n-3}^{(j)}] \cdots \\ &\quad \cdots [f_0^{(j)} \odot d_0^{(j)}] \cdots [f_{n-1}^{(i)} \odot d_{n-1}^{(i)}] \\ &\quad \times [f_{n-2}^{(i)} \odot d_{n-2}^{(i)}] \cdots [f_0^{(i)} \odot d_0^{(i)}]. \end{aligned}$$

其中 $n = \log_2 N$ 。则信号 i 流经的, 从网络第一级到 $2 \log_2 N - 1$ 级的开关状态, 由 $F_{j,i} \odot D_{j,i}$ 运算结果的各位数决定, 即 $f_{n-2}^{(j)} \odot d_{n-2}^{(j)}$ 决定 i 流经的第一级开关状态, $f_{n-3}^{(j)} \odot d_{n-3}^{(j)}$ 决定 i 流经的第二级开关状态, 以此类推。设定 $f_{n-2}^{(j)} f_{n-3}^{(j)} \cdots f_0^{(j)} = d_{n-2}^{(j)} d_{n-3}^{(j)} \cdots d_0^{(j)}$, 则信号 i 流经的, 从网络第一级到 $\log_2 N - 1$ 级的开头状态为 0。进一步设定一个输入信号, 从中间级到 $2 \log_2 N - 2$ 级, 依次占据一个 2×2 开关, 以此实现网络的无阻塞互连。信号未流经的开关将不影响该次互连模式, 故而可以不用考虑。对于计算机数据传输中两种重要的变换: 1) 统一平移变换 $P = (i + ss) \bmod N$, 其中 P 表示输出通道地址, i 表示输入通道地址(i 的取值范围是从 0 到 N), ss 表示平移量, $\bmod N$ 表示模数是 N , 当 $I = (0, 1, 2, 3, 4, 5, 6, 7)$, $N = 8$, $ss = 5$ 时, $P = (3, 4, 5, 6, 7, 0, 1, 2)$, 将 $F_{j,i} \odot D_{j,i} = [00011, 00101, 00111, 00101, 00011, 00101, 00111, 00101]$ 运算结果的位数依次赋予信号通过的开关, 表 1 中给出了 8 通道 Cantor 网络实现统一平移变换($ss = 5$)的开关控制位。2) 整序 P 序矢量 $P = (i \cdot ss) \bmod N$ 。当 $ss = 5$ 时, $P = (0, 5, 2, 7, 4, 1, 6, 3)$, 将 $F_{j,i} \odot D_{j,i} = [00000, 00100, 00000, 00100, 00000, 00100, 00000, 00100]$ 的位数赋予开关, 表 2 给出 Cantor 网络实现整序 P 序矢量变换($ss = 5$)时的控制位。

Table 1. Control bits of the uniform shift permutation with $ss = 5$

$C_{j,i}^{(1)}$	0	x	x	x	0	x	x	x	0	0	x	x
$C_{j,i}^{(2)}$	0	0	0	0	x	x	0	0	x	x	0	0
$C_{j,i}^{(3)}$	1	1	1	0	x	1	x	0	1	x	1	x
$C_{j,i}^{(4)}$	0	x	x	1	0	1	0	1	0	x	x	x
$C_{j,i}^{(5)}$	x	1	1	1	x	1	1	x	x	1	1	x

Table 2. Control bits of the p-ordering permutation with $ss = 5$

$C_{j,i}^{(1)}$	0	x	x	x	0	x	x	x	0	0	x	x
$C_{j,i}^{(2)}$	0	0	0	0	x	x	0	0	x	x	0	0
$C_{j,i}^{(3)}$	0	0	1	1	x	0	x	1	0	x	1	x
$C_{j,i}^{(4)}$	0	0	0	x	x	0	0	0	x	0	0	x
$C_{j,i}^{(5)}$	0	x	0	0	0	x	0	x	0	0	0	x

3 集成模块化 Cantor 网络的结构

如图 2 所示, 集成模块化 Cantor 网络是由三部分组成, 第一部分是 $1 \times \log_2 N$ 开关, 用于完成信号的输入通道选择, 第二部分是 Cantor 网络的核心部分, 根据控制实现信号位序的

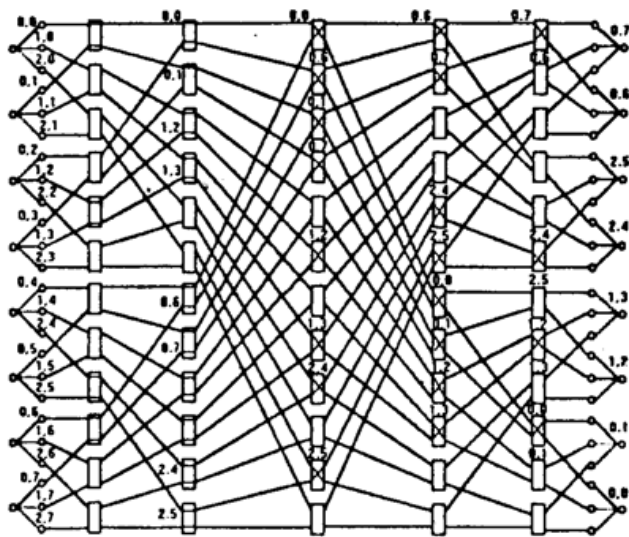


Fig. 1 The configuration of Cantor network with 8 terminals

变换，第三部分是 $\log_2 N \times 1$ 开关实现终端输出。

3.1 集成 $1 \times \log_2 N$ 开关

对于 8 通道的 Cantor 网络，一个输入信号可以选择 3 个通道，集成 1×3 开关和 3×1 开关是由二块方解石和三块一维 LiNbO_3 晶体电光开关列阵组成如图 3 所示。 LiNbO_3 晶体电光开关用作可编程偏振片。若输入信号的偏振方向垂直于光学主面(寻常光)，当它通过方解石晶体时，光束不偏折，继续传输通过第一块一维 LiNbO_3 电光开关时，若其上已加半波电压，光束的偏振方向发生 90° 偏转(非常光)；反之，光束将沿输入路径传输(输出进入 0 通道)。由第一块 LiNbO_3 输出的非常光束通过第二块方解石时发生偏折，光束进入第二块 LiNbO_3 ，若其上加半波电压，光束的偏振方向发生 90° 旋转(寻常光)，输出进入 1 通道；反之光束输出进入 2 通道。 $\log_2 N \times 1$ 开关的构造原理与 $1 \times \log_2 N$ 开关相同。

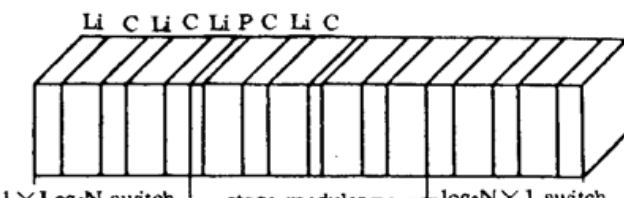


Fig. 2 Architecture of optical cantor network packaged by modules

P: polarization rotator, C: calcite Plate, Li: LiNbO_3 E-O switch

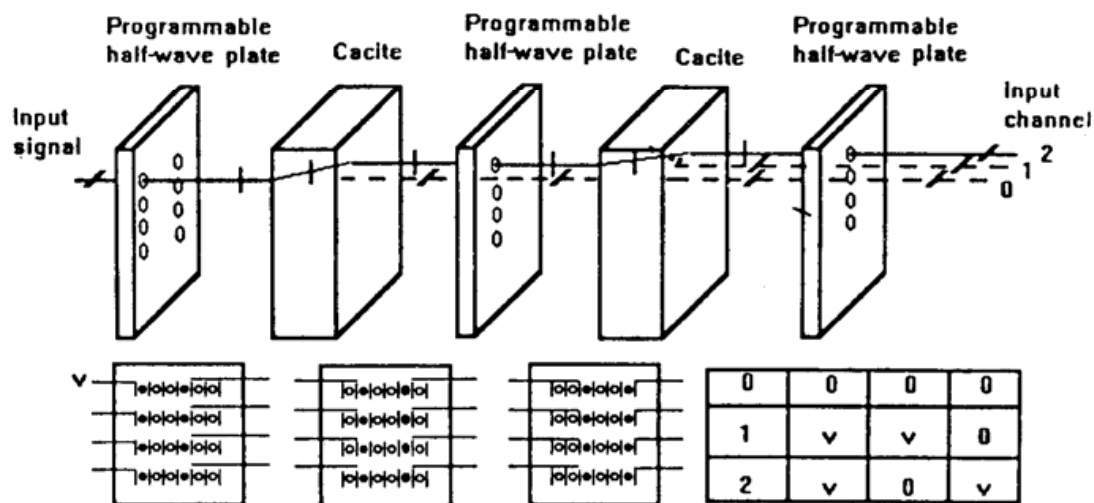


Fig. 3 The scheme of the stacked 1×3 switch

3.2 集成 Cantor 网络模块

当输入信号完成了输入通道的选择之后，这时输入信号占据的通道数是 24。图 4 给出了网络第一级模块的构造模式以及实现的等序变换(控制比特数均为零)。它是由特殊构造的偏振片、两块相同的方解石晶体、一维 LiNbO_3 电光开关头列阵组成。第一块方解石实现网络的互连模式，并且由二块方解石和一维 LiNbO_3 电光开关列阵组成一维 2×2 电光开关列阵，如图 5 所示。首先偏振方向互相垂直的二束光，经第一块方解石合成为一束偏振方向互相垂直的光束，若开关的控制位数是 1，则 LiNbO_3 电光开关加半波电压，合成光束偏振方向分别旋转 90° ，经第二块方解石分束后，二束光的间隔不变，但位置互换，即 2×2 开关处于交换状态。若开关的控制位数是 1，则 LiNbO_3 不加电压， 2×2 开关处于直通状态。网络其余各级模块的构造原理与第一级模块相同。网络中各元件以及各级模块都是胶合起来的，选择胶合物的折射率，介于方解石晶体对寻常和非常光的折射率之间。且方解石都镀以增透膜以减少反射，散射造成的光衰减。

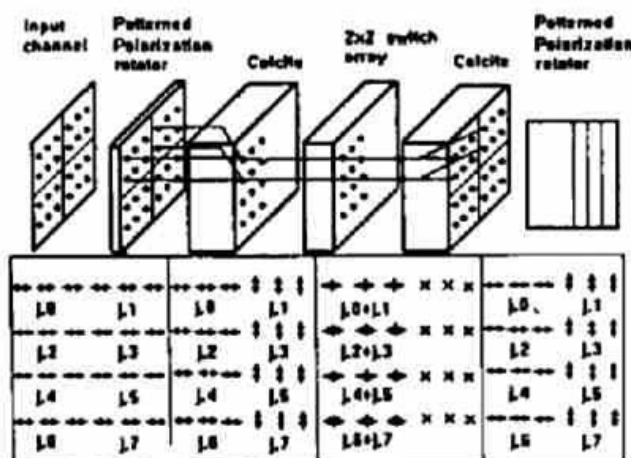


Fig. 4 Configuration of the first stage optical module of 8 channel cantor network

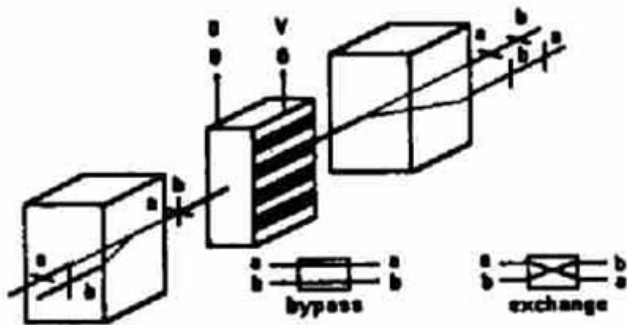


Fig. 5 Schematic illustration of 2x2 switch

4 设计和制作

Cantor 网络二通道间距是 1 mm, 每束光的直径是 0.5 mm, 方解石晶体是自然切割制成, 晶轴和光束的夹角是 48.25°。实现 1 mm 偏折所需的方解石厚度是 9.3 mm。特殊结构的偏振片是由石英晶体和普通的玻璃片组成, 实现 90°偏振的石英晶体厚度是 4.8 mm。用平行横向电光调制的 LiNbO₃ 晶体采用 Z 向切割, 沿 X 平面, 利用蒸镀法制成四对电极, 从而构成一维四通道电光开关列阵, 其相对于波长为 632.8 nm 光束的半波电压是 430 V。其动态消光比是 250 : 1。LiNbO₃ 晶体的尺寸为 1.0 × 4.0 × 8.0 mm。图 6(a) 为输入信号, 其地址为 (0, 1, 2, 3, 4, 5); (b) 为输入信号 (a) 经 $N = 8$ 的 Cantor 网络实现的统一平移变换 (控制数示于表 1); (c) 为输入信号 (a) 经 $N = 8$ 的 Cantor 网络实现的整序 P 序矢量变换 (控制比特数示于表 2)。

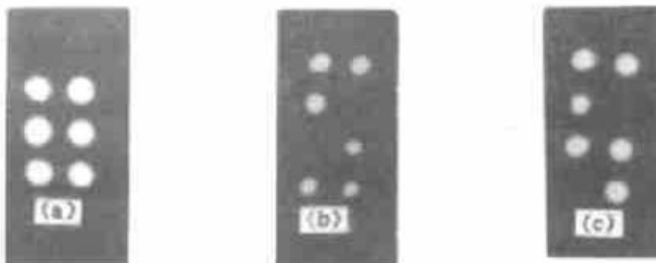


Fig. 6 Experimental results: (a) input signal arrangement, (b) output of 8 channel cantor network for the uniform shift permutation ($ss = 5$), (c) output for the p -ordering permutation ($ss = 5$)

结 论 本文构造了 8 通道光学集成模块化 Cantor 网络, 它是由特殊结构的偏振片、方解石晶体和一维 LiNbO₃ 电光开关列阵串接组成。文中给出了 Cantor 网络网络的快速控制算法, 从而可以利用该网络, 迅速有效地实现任意非阻塞互连模式。该 Cantor 网络具有结构紧凑、易于安装、抗干扰、高效和快速等优点。

参 考 文 献

- [1] G. M. Masson, G. C. Gingher, S. Nakamura, A sampler of circuit switching networks. *IEEE Comput.*, 1979, C-28 : 32~47
- [2] Y. Wu, L. Liu, Z. Wang, Characteristics, routing algorithm, and optical implementation of two-dimensional perfect-shuffle networks. *Appl. Opt.*, 1993, 32(35) : 7210~7216
- [3] F. B. McCormick, T. J. Cloonan, F. A. Tooley *et al.*, Six-stage digital free-space optical switching netowrk using symmetric self-electro-optic-effect devices. *Appl. Opt.*, 1993, 32(26) : 5153~5171
- [4] K. Noguchi, K. Hogari, T. Sakano *et al.*, Rearrangable multichannel free-space optical switch using polarization multiplexing technique. *Electron. Lett.*, 1990, 26(17) : 1325~1326

Cantor Network, Two Dimensional Compact Structure, Control Algorithm and Its Optical Implementation

Wang Ning Yin Yaozu Qian Jiajun Liang Feng Liu Liren

(Shanghai Insitute of Optics and Fine Mechanics, Chinese Academy of Sciences, Shanghai 201800)

(Received 28 March 1995; revised 23 June 1995)

Abstract A compact integrating module technique for packaging optical multi-stage cantor network with polarization multiplex technique has been suggested in this paper. The modules have a unique configuration, which is the solid-state combination of a polarization rotator and a 2×2 switch array. The design and fabrication of an optical 8-channel nonblocking cantor network is demonstrated. Furthermore a fast setup control algorithm is developed. The network systems are easy to assemble and insensitive to environment disturbance.

Key words cantor netowrk, optical compact structure, fast control algorithm.